

Mesaconitine 과 Hypaconitine 의 열분해

이현선 · 박신영 · 정보섭

서울대학교 약학대학

(Received January 12, 1990)

The Pyrolysis of Mesaconitine and Hypaconitine

Hyun Sun Lee, Shin Young Park and Bo-Sup Chung

College of Pharmacy, Seoul National University, Seoul, 151-742

Abstract — The pyrolysis of mesaconitine and hypaconitine which are present as strongly toxic components in the raw aconite roots was performed.

C(15)-keto pyro type compounds 1, 4 were obtained by the pyrolysis of mesaconitine and hypaconitine, respectively and structures of those compounds were determined as 16-Epi-pyromesaconitine(1) and 16-Epi-pyrohypaconitine (4) having C(16)- α -OCH₃ on the basis of their spectral and chemical data.

Keywords: Mesaconitine, hypaconitine, pyrolysis, 16-Epi-pyromesaconitine, 16-Epi-pyrohypaconitine

附子는 *Aconitum* 속 식물의 과근으로서 예로부터 강심, 이뇨, 진통의 목적으로 사용되어온 중요한 생약이며, 그 맹독성으로 인하여 修治과정을 거친 후 그 毒性을 감소시켜 사용되고 있다.¹⁾ 맹독성분으로는 aconitine type의 C₁₉-diterpene alkaloid인 aconitine, mesaconitine, hypaconitine, jesaconitine 등을 들 수 있으며, 1950년대부터 부자의 수치과정에 의한 성분들의 화학적 변화 및 독성의 감소에 대한 연구가 진행되어 왔다.

Aconitine의 열분해에 의한 pyroaconitine의 생성은 epoxide 형성이나 ethylenic linkage 생성으로 설명되어 왔다.²⁾ 그러나 1958년 Shima 와 Amiya 가³⁾ acetoxy group에 이웃하는 탄소에 붙어있는 수산기와 acetoxy group 사이에서 한 분자의 초산이 탈락하고 새로운 carbonyl group이 생성됨을 보고한 아래로 aconitine 류에 대한 pyro type의 연구가 진행되어, C(8)에 ester group을 갖는 aconitine 류의 열분해는 C(15)에 수산기가 존재시 열분해산물은 keot form으로 되며, 이제 까지 알려진 pyroaconitine, pyromesaconitine, pyrojesaconitine은 C(16)의 methoxy 가 β 배위

로서 나타나고 있다.⁴⁾ 그러나 최근 katz 등은 C(16)의 methoxy group의 입체배위가 α 배위로 된 16-Epi-desbenzoyl-pyroaconitine(7)을 보고한 바 있다.⁵⁾

저자 등은 부자의 수치과정 중 성분의 화학적 변화를 검토하기 위하여 mesaconitine과 hypaconitine에 대한 열처리를 행하였으며 C(16)의 methoxy group이 α 배위를 하고 있는 16-Eip-pyromesaconitine과 16-Epi-pyrohypaconitine을 얻었기에 보고하는 바이다.

실험방법

실험재료 — Mesaconitine은 그늘돌찌귀 *Aconitum uchiyamai*, hypaconitine은 섭초오 *Aconitum napiforme*로부터 분리하였고, NMR, IR, MS 등 여러 기기 data로부터 동정하여 실험에 사용하였다.^{6,7)}

기기 — UV 스펙트럼은 LKB(Biochrom) Ultrastrasc 4050 UV spectrophotometer로, IR 스펙트럼은 Beckmann IR-20A spectrometer를

사용하여 KBr disc 법으로 측정했다. NMR은 TMS를 내부표준물질로 하여 Bruker WP-80SY와 AM-200SY spectrometer를 사용하였고, 질량스펙트럼은 Hewlett packard 5985B GC/MS system을 사용하였다. 발색은 Dragendorff 시약, anisaldehyde-H₂SO₄를 사용했다.

열분해조건—Mesaconitine(3) 약 2g을 180°C에서 30분, hypaconitine(5) 약 6g을 180°C에서 60분 동안 열처리했다. 열분해는 각각의 시료를 vial에 넣고 가스크로마토그래피용 오븐에서 상압하에 실시했다.

mesaconitine의 열분해산물인 16-Epi-pyromesaconitine(1)의 분리—위의 조건으로 열분해시킨 반응물을 CHCl₃:MeOH 용매로 30:1에서 10:1 까지 순차적으로 용매의 극성을 증가시키면서 SiO₂ 컬럼크로마토그래피를 실시하며 주생성물인 Rf 0.2(CHCl₃:MeOH=15:1)의 단일 spot에 해당하는 분획을 모아 45°C 이하에서 농축하여 백색무정형의 물질인 Compound 1을 약 760mg 얻었다.

UV $\lambda_{\text{max}}^{\text{EtOH}}$ nm : 230, 272, 280

IR $\nu_{\text{max}}^{\text{KBr}}$ cm⁻¹ : 3450, 1715, 1650, 1600, 1458, 1280, 1100, 756, 712

¹H-NMR(CDCl₃, 200 MHz) δ : 1.75~1.90(m), 2.37(s, N-CH₃), 3.26, 3.27, 3.30, 3.80(each s, OCH₃), 5.43(1H, d, J=4.8 Hz, C(14)- β -H), 7.43~7.61(m, 3H), 7.97~8.0(m, 2H)

MS m/z(rel. int.) : 571(M⁺, 2.3), 540(M⁺-OCH₃, 100), 522(M⁺-OCH₃-H₂O, 21.7), 105(benzoyl cation)

¹³C-NMR and APT spectrum(CDCl₃, 50 MHz); Table I 참조

Compound 1의 알칼리 가수분해—Compound 1 약 200mg을 5% KOH-aqueous MeOH(1:1)-용액 10ml에 녹이고 실온에서 10시간 반응시킨 후 중류수 50ml를 가지고 CHCl₃ 30ml로 3회 추출하였다. CHCl₃층을 중류수로 세척하고 무수 Na₂SO₄ 처리 후 농축하여 백색무정형의 물질 Compound 2를 얻었다. 남은 수층을 N-HCl 산성으로 하여 EtOAc로 추출하고 중류수로 세척한 후 농축하여 mp. 120~122°인 백색의 침상결정을 얻었으며, 이 물질은 IR과 ¹H-NMR 스펙트럼이 benzoic acid의 그것과 일치하였다. Compound 2

Table 1—¹³C-chemical shifts and assignments for 16-Epi-pyromesaconitine (1), 16-Epi-desbenzoylpyromesaconitine (2), mesaconitine (3), 16-Epi-pyro-hypaconitine (4), hypaconitine (5) and desbenzoylpyroaconitine (6)^a

Carbon	1	2	3 ^b	4	5 ^b	6 ^b
1	83.8	83.7	83.2	86.3	85.0	84.1
2	32.9	32.7	35.9	26.0	26.4	34.2
3	71.7	71.3	70.8	35.0	34.9	71.8
4	43.9	44.0	43.5	40.0	39.3	43.6
5	48.0	47.9	46.5	49.0	48.2	47.1
6	84.1	84.2	82.4	84.3	83.1	83.7
7	40.9	41.0	44.3	41.3	44.5	42.3
8	49.4	49.4	91.8	49.5	91.9	43.3
9	38.8	38.7	43.8	38.9	43.8	48.5
10	44.8	44.8	40.9	45.2	41.1	41.2
11	51.4	51.4	50.0	51.5	49.9	51.0
12	34.2	34.2	34.2	33.0	36.3	35.2
13	77.4	77.4	74.1	77.6	74.1	76.0
14	78.5	77.5	78.9	78.8	78.8	78.2
15	211.4	211.4	78.9	211.6	78.8	210.6
16	86.2	86.2	90.1	86.3	90.1	89.1
17	62.9	62.9	62.2	63.4	62.1	61.8
18	76.6	76.3	75.8	80.4	80.1	77.0
19	49.8	49.8	49.4	56.5	56.0	49.1
N-CH ₂						47.6
CH ₃	42.1	42.0	42.4	42.4	42.6	13.4
1'	56.4	56.2	56.2	56.5	56.5	56.1
6'	57.9	57.8	57.9	58.0	57.9	57.8
16'	62.3	62.2	61.0	62.4	60.9	60.9
18'	59.2	59.1	59.0	59.3	59.0	59.3
C=O	166.0		166.0	166.2	166.1	
Ar. a	129.7		129.9	129.8	129.9	
b	129.5		129.6	129.6	129.6	
c	128.7		128.6	128.7	128.6	
d	133.6		133.2	133.7	133.2	

^a Chemical shifts in ppm downfield from TMS, solvent, CDCl₃

의 ¹H-과 ¹³C-NMR data는 다음과 같다.

¹H-NMR(CDCl₃, 200 MHz) δ : 1.60~1.78(m), 2.37(s, N-CH₃), 3.23, 3.28, 3.30, 3.74(each s, OCH₃), 4.23(d, J=4.8 Hz, C(14)- β -H)

¹³C-NMR(CDCl₃, 50 MHz); Table I

Hypaconitine(5)의 열분해산물인 16-Epi-pyro-hypaconitine(4)의 분리- CHCl_3 : MeOH (70:1 → 10:1) 용매로 SiO_2 젤럼크로마토그래피를 행하여 R_f 0.27 (CHCl_3 : MeOH = 15:1)에 해당하는 분획으로부터 백색무정형의 물질 Compound 4를 약 300 mg 얻었다.

UV $\lambda_{\text{max}}^{\text{EtOH}}$ nm : 228, 272, 280

IR $\nu_{\text{max}}^{\text{KBr}}$ cm^{-1} : 3450(OH), 1720(C=O), 1280, 1100, 760

$^1\text{H-NMR}$ (CDCl_3 , 80 MHz) δ : 1.68~1.9(m), 2.32(s, N-CH₃), 3.28(9H, s, 3×OCH₃), 3.80(3H, s, OCH₃), 5.44(1H, d, C(14)- β -H, J =4.8 Hz), 7.45~7.57(3H, m, ArH), 7.93~8.03(2H, m, ArH)

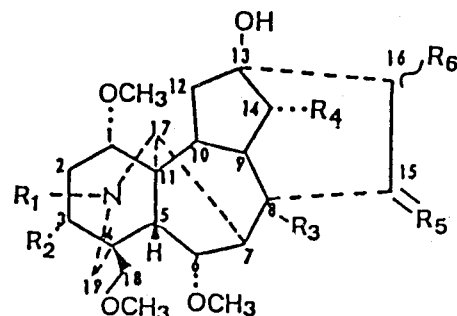
MS m/z : 555(M⁺), 524(M⁺-OCH₃, base peak), 105(benzoyl cation)

$^{13}\text{C-NMR}$ and APT spectrum (CDCl_3 , 50 MHz); Table I

결과 및 고찰

Compound 1은 $^1\text{H-NMR}$, $^{13}\text{C-NMR}$ 등 여러 기기 data로부터 N-CH₃, 4개의 methoxy group, 1개의 benzoyl group을 갖는 것을 출발물질인 mesaconitine(3)과 비교함으로써 알 수 있다. 그러나 3의 경우 C(8)의 acetyl group의 $^1\text{H-NMR}$ 의 signal이 1.38 ppm에서 singlet으로 나타나고 있으며, C(8)의 탄소가 $^{13}\text{C-NMR}$ 에서 91.8 ppm에서 나타나고 있다. 또한 MS 스펙트럼에서 C(8)의 acetyl group의 털락에 기인되는 m/z 571, m/z 540의 peak를 볼 수 있었으나 열분해산물인 1에서는 이들의 signal들을 볼 수 없었다. 이는 열분해에 의해 C(8)의 acetyl group이 떨어져 나간 것을 보여주고 있다. 3의 C(15)- β -H는 4.4~4.5 ppm에서 나타나나 1에서는 볼 수 없었으며, 1의 $^{13}\text{C-NMR}$ 에서 211.4 ppm의 signal은 C(15)가 keto form으로 되어 있음을 보여주고 있다.

천연에 존재하는 C_{19} -diterpene alkaloid는 C(16)에 β 배위의 methoxy group을 가지고 있으며, 이제까지 알려진 pyrotype의 경우도 β 배위를 갖는 것으로 보고되어 왔다. 그러나 최근 katz 등은 α 배위를 하고 있는 16-Epi-desbenzoylpyr-



- | | | | | | |
|------------------------|---------------------|----------------------|----------------------|--------------------------------|--------------------------------|
| 1: R ₁ =Me, | R ₂ =OH, | R ₃ =H, | R ₄ =OBz, | R ₅ =O, | R ₆ = α -OMe |
| 2: R ₁ =Me, | R ₂ =OH, | R ₃ =H, | R ₄ =OH, | R ₅ =O, | R ₆ = α -OMe |
| 3: R ₁ =Me, | R ₂ =OH, | R ₃ =OAc, | R ₄ =OBz, | R ₅ = α -OH, | R ₆ = β -OMe |
| 4: R ₁ =Me, | R ₂ =H, | R ₃ =H, | R ₄ =OBz, | R ₅ =O, | R ₆ = α -OMe |
| 5: R ₁ =Me, | R ₂ =H, | R ₃ =OAc, | R ₄ =OBz, | R ₅ = α -OH, | R ₆ = β -OMe |
| 6: R ₁ =Et, | R ₂ =OH, | R ₃ =H, | R ₄ =OH, | R ₅ =O, | R ₆ = β -OMe |
| 7: R ₁ =Et, | R ₂ =OH, | R ₃ =H, | R ₄ =OH, | R ₅ =O, | R ₆ = α -OMe |

Fig. 1.— Structures of pyrolytic products of aconitine type C_{19} -diterpene alkaloids

aconitine(7)을 보고한 바 있으며 desbenzoyl-pyroaconitine(6)의 경우 Ha-C(12)는 2.05~2.40 ppm, He-C(12)는 2.41~2.49 ppm에서 나타나는 반면 그의 입체 이성체인 7의 경우 Ha과 He은 2.75~2.84 ppm, 1.64~1.74 ppm에서 multiflet으로 나타나고 있다.⁵⁾

1과 그의 알칼리 가수분해물인 2의 $^1\text{H-NMR}$ 스펙트럼은 3에서 볼 수 없었던 signal을 각각 1.75~1.90 ppm, 1.60~1.78 ppm에서 보여준다. 이는 앞에서 언급한 He-C(12)의 signal에 해당되며 C(11)-H, Ha-C(12)과 coupling, H-C(8)과 β -H-C(16)과 long-rang coupling(W-coupling)을 함으로써 multiflet으로 나타나고 있다. 이같은 현상은 C(16)의 methoxy group이 α 배위를 함으로써 D-ring이 chair form으로 안정화되며, 이 때 C(15)의 Ketone의 anisotropic effect의 영향으로 He-C(12)의 chemical shift가 C(16)- β -OCH₃일 때(D-ring이 boat form으로 존재함)보다 고자장으로 이동되어 1.75~1.90 ppm(1.60~1.78 ppm)에서 나타나고 C(14)- β -H는 3보다 약 0.6 ppm 저자장이동하여 나타나는 것으로 설명할 수 있다.

또한 C(16)의 입체배위는 $^{13}\text{C-NMR}$ 에서도 그 차이를 볼 수 있다. Compound 1과 2의 chemical shift는 86.2 ppm으로 6의 89.1 ppm 보다 약 3 ppm, C(16)의 methoxy carbon은 62.3 ppm,

62.2 ppm으로 **6**의 그것보다 약 1.3 ppm 저자장이 되어 나타나고 있다. 이상의 결과로서 Compound **1**과 **2**는 C(16)의 methoxy group이 α 배위를 갖는 pyro-type으로 16-Epi-pyromesaconitine(**1**)과 16-Epi-desbenzoyl-pyromesaconitine(**2**)으로 구조를 결정했다.

Compound **4**는 211.6 ppm의 ^{13}C -NMR signal과 1720 cm^{-1} 에서의 IR 흡수로서 carbonyl group을 가지고 있음을 알 수 있다. ^1H -NMR에서 acetyl group은 볼 수 없었으며, 그외 다른 resonance는 출발물질인 hypaconitine(**5**)의 그것과 유사했다. 이같은 기기 data는 **1**과 **2**에서 언급한대로 C(8)의 acetyl group이 탈락하고 C(15)가 keto form으로된 pyro-type임을 보여준다. C(16)의 입체배위는 16번 탄소와 C(16)의 methoxy 탄소의 chemical shift가 86.3 ppm과 62.4 ppm으로 **1**의 그것과 거의 일치하였다. 이상의 결과로 Compound **4** 역시 C(15)-keto, C(16)- α -methoxyl을 갖는 16-Epi-pyrohypaconitine으로 그 구조를 결정했다.

결 론

맹독성의 C_{19} -diterpene alkaloid인 mesaconitine과 hypaconitine을 열분해시켜 각각에 해당하는 Compound **1**과 **4**를 얻었다.

1과 **4**를 IR, ^1H -NMR, ^{13}C -NMR, MS 등의 spectrometry로 구조를 확인한 결과, C(8)의 acetoxy group이 탈락하고 C(15)에 새로운 car-

bonyl이 생성된 pyro-type을 보여주었다. 또한 이제까지 알려진 pyro-type은 C(16)의 methoxy group이 β 배위로 존재하는데 반해, **1**과 **4**는 α 배위를 갖는 것으로 나타났다.

1은 16-Epi-pyromesaconitine($\text{C}_{31}\text{H}_{41}\text{NO}_9$), **1**의 알칼리 가수분해물인 **2**는 16-Epi-desbenzoyl pyrohypaconitine, **4**는 16-Epi-pyrohypaconitine($\text{C}_{31}\text{H}_{41}\text{NO}_8$)으로 그 구조를 결정했다.

문 헌

- Namba, T.: Coloured illustrations of WAKAN-YAKU, Vol. 1, 92 (1980).
- McCaldin, D.J. and Marion, L.: The Nature of Pyroaconitine, *Can. J. Chem.*, **37**, 1071 (1959).
- Shima, T. and Amiya, T.: Aconite Alkaloids-On Pyrolytic Products of Aconitine, Oxonitine and their Derivatives. *Bull. Chem. Soc. Japan*, **31**, 657 (1958).
- Keith, L.H. and Pelletier, S.W.: The Pyrolysis and Structure of Jesaconitine. *J. Org. Chem.*, **33**, 2497 (1968).
- Katz, L.H. and Rudin, H.: Mild Alkaline Hydrolysis of Aconitine. *Helv. Chim. Acta*, **67**, 2017 (1984).
- Chung, B.S., Lee, H.K. and Lee, H.S.: Alkaloids of *Aconitum uchiyamai*. *Kor. J. Pharmacog.*, **19**, 177 (1988).
- Chung, B.S. and Lee, H.K.; *Kor. J. Pharmacog.*, **18**, 103 (1987).
- Pelletier, S.W.: Alkaloids: Chemical and Biological Perspectives vol. 2, p. 393, p. 419 (1984).